

横河橋梁(株) 正員 高田和彦  
東京大学工学部 正員 藤野陽三

## 1. まえがき

前回の発表<sup>1)</sup>で、渋滞時の自動車列による桁の曲げモーメント応答は非ガウス過程であり、最大値分布を求めるには曲げモーメントの確率分布を求める必要があることを述べた<sup>2)</sup>。荷重モデルには混入率、車長分布、車頭間隔などさまざまなパラメータがあり、荷重により引き起こされる曲げモーメントの確率分布を解析的に求める事は困難である<sup>3)</sup>。多くのパラメータを容易に取り込めるコンピュータシミュレーションの方が優れているともいえるが、最大値推定に必要な分布形の特に裾部の情報を得るには、莫大な繰り返し計算が必要である。そこで、この繰り返しの回数を減らすコンピュータシミュレーションの効率化を考える。断面力としては、単純桁の中央部の曲げモーメントを考える。

## 2. 従来の方法

ブロック渋滞を考える場合、曲げモーメントの最大値の累積分布  $F_{\max}$  は、各渋滞が独立とすれば瞬間値の累積分布  $F$  と供用期間内でブロック渋滞が起こる回数  $N$  を用いて、 $F_{\max} = F^N$  と表せる。1日に10回のブロック渋滞が起こるとして、50年間の最大値を問題とすると、最大値分布は、

$$F_{\max} = F^{10 \times 365 \times 50} = F^{182500} \quad (1)$$

となり、例えば  $F_{\max} = 0.8$  となるのは  $F = 0.999999$  の時である。瞬間値の分布  $F$  の裾部を  $10^{-6}$  のオーダの精度で知る必要があることを示しており、シミュレーションの繰り返し回数に直すと、 $10^6$  回以上必要ということになる。コンピュータシミュレーションが容易ということで、ブロック渋滞の計算は広く行われているが、従来は、もっと少ない繰り返しによって得られる結果を確率紙にあてはめ、裾部を直線・曲線で近似するという方法がとられてきた。自動車モデルについて

(文献1) 車両重量の最大値を仮定して、Fig-1 にコンピュータシミュレーションを  $10^3$  回繰り返して得られる曲げモーメントの累積確率と、 $10^6$  回繰り返して得られる累積確率の裾部を、確率紙にあてはめたものを示す。また同じ図に、 $10^3$  回の繰り返しによって得られるデータを用い、裾部を直線によって推定したものを示す。少數のデータを用いた直線近似による裾部の推定では、同じ累積確率に対し曲げモーメント値が、 $10^6$  回の繰り返しから得られる値より、特に累積確率の大きいところで過大評価となっている。

## 3. 手法と結果

確率分布の最大値側の裾部に関する情報が、工学的には重要である。そこで大きな値の曲げモーメントだけを抽出し、必要な情報を数少ない繰り返しによって求めることを考える。

単純桁の中央部に大きな曲げモーメントが発生するのは、桁中央付近に重い大型車両が載った時である。この状態を (A) とし、状態 (A) を以下の 2 条件により規定する。

- i) 大型トラック  $n$  台が連続して、桁中央部をはさんで載っている。
- ii) i) で載っている大型トラックの重量は  $x$  ton 以上である。

状態 (A) が生ずる確立を  $P_A$  とすると、(A) の状態のみを抽出するという制限のもとでの  $N \times P_A$  回の繰り返しのシミュレーションと、制限なしの  $N$  回の繰り返しのシミュレーションで得られる曲げモーメント

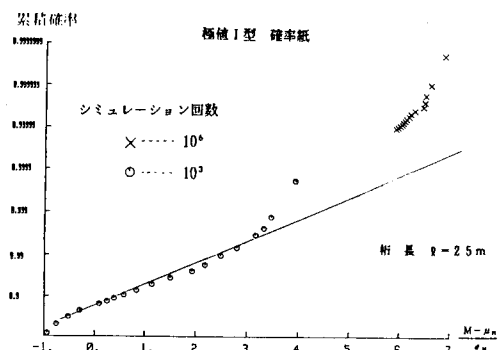


Fig-1 ブロック渋滞による曲げモーメント分布の標準 I 型確率紙へのあてはめ

値のサンプルを、大きい順に並べると、両者の上位の値はほぼ同じはずである。大型トラック・小型トラック・乗用車の混入率をそれぞれ  $p_{v1}$ ,  $p_{v2}$ ,  $p_{v3}$  車長を  $\ell_{v1}$ ,  $\ell_{v2}$ ,  $\ell_{v3}$  とし、車両間隔を  $s$ 、大型トラックの重量の累積確率を  $F_{v1}(x)$  とすると、i), ii) が生ずる確率は次のようにして決めることができる。

i) 桁上にブロック渋滞が載る時、桁中央に大型トラックが載っている、または車両と車両の間に桁中央があるが、一番中央に近い車両が大型トラックである確率は、車両間隔が  $s$  であることを考えて  $(\ell_{v1} p_{v1} + s) / (\sum_{i=1}^3 (\ell_{v1} p_{v1} + s))$  と近似できる。注目点に大型トラックがあり、さらにその後に大型トラックが  $(n - 1)$  台続く確率  $P_1$  は

$$P_1 = \frac{\ell_{v1} p_{v1} + s}{\sum_{i=1}^3 (\ell_{v1} p_{v1} + s)} \times p_{v1}^{n-1} \quad (2)$$

で表すことができる。上述の注目点は、連続する大型トラックの台数  $n$  で固有に決まる点である。

ii) 大型トラック  $n$  台が  $x$  ton 以上である確率  $P_2$  は

$$P_2 = (1 - F_{v1}(x))^n \quad (3)$$

式(2), (3)を用い、状態(A)の生ずる確率  $P_A$  は

$$P_A = P_1 \times P_2 \quad (4)$$

と表すことができる。

実際にシミュレーションを行い、 $P_A$ ,  $n$ ,  $x$  を以下のように定めた。

$$n = \begin{cases} 1 & \ell < 50 \text{ m} \\ 2 & \ell \geq 50 \text{ m} \end{cases} \quad P_A = \begin{cases} \frac{1}{200} & \ell < 50 \text{ m} \\ \frac{1}{300} & \ell \geq 50 \text{ m} \end{cases}$$

$x$  は上の  $n$ ,  $P_A$  を満たすように定める。

$10^6$  回の繰り返しによるシミュレーション結果と、効率化を施したシミュレーション結果のそれぞれの裾部を、極値 I 型紙にあてはめ比較したものを Fig-2 に示す。Fig-1 で示した少数のデータを用いた裾部の直線による推定は、大きくはずれしており Fig-2 の範囲に入ってこない。この効率化したシミュレーションが良好な結果を与えることがわかる。さらに、大きな曲げモーメントが生ずる状態を支配するのが、大型トラックと大型トレーラの 2 種類の場合、大型トレーラの混入率と車長をそれぞれ  $p_{v4}$ ,  $\ell_{v4}$ 、とすると  $P_1$  を

$$P_1 = \frac{\ell_{v1} p_{v1} + \ell_{v4} p_{v4} + 2s}{\sum_{i=1}^4 (\ell_{v1} p_{v1} + s)} \times (p_{v1} + p_{v4})^{n-1} \quad (6)$$

に変えればよい。また、 $P_2$  の  $x$  は、大型トラックと大型トレーラのそれぞれで式(5)を満たすように決めればよい。結果を Fig-3 に示す。効率化を施したものと施さないもののシミュレーション結果の差は小さく、この効率化のシミュレーションが、広い汎用性を有することがわかる。

#### 4. 結論

コンピュータシミュレーションを行う時、必要な情報を与えている状態のみを抽出することにより、繰り返し回数を減少させる効率化を試み、良い結果を得られた。

<参考文献> 1) 高田, 藤野, 伊藤: 第39回年次学術講演会, 1984 2) 藤野, 高田: 構造工学論文集, 1985

3) 藤野, 伊藤, 高田: 確率過程論を用いた都市内道路橋の活荷重応答の評価, 東大修士論文1985

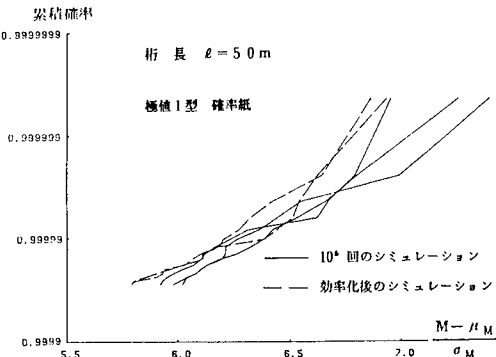


Fig-2 効率化を施したシミュレーションと施さないシミュレーションの裾部の比較

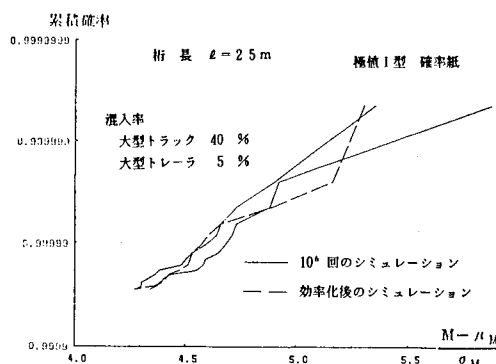


Fig-3 大型トレーラが加わった時の、効率化を施したシミュレーションと施さないシミュレーションの裾部の比較